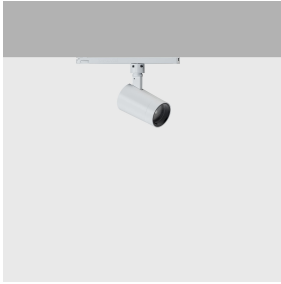


Letzte Aktualisierung der Informationen: März 2025

Produktkonfiguration: RQ51

RQ51: Korpus Ø62mm - Elektronische dimmbare DALI - Wideflood-Optik



Produktcode

RQ51: Korpus Ø62mm - Elektronische dimmbare DALI - Wideflood-Optik

Beschreibung

Ausrichtbarer Strahler mit Adapter zum Einbau an einer Stromschiene mit Netzspannung. LED-Lichtquelle mit hoher Farbwiedergabe im Farbton 3000K und Optiksistem OptiBeam Lens, Wideflood-Optik. Elektronisches dimmbares DALI-Versorgungsgerät integriert in den Schienenadapter der Leuchte. Leuchtenkorpus aus Aluminiumdruckguss und Thermoplast, erlaubt eine Drehung um 360° um die Senkrechte und eine Schrägstellung um 90° zur Waagrechten, mit mechanischen Blockiervorrichtungen. Passive Wärmeableitung. Der Strahler kann mit dem System „Push&Go“ bis zu drei flache Zubehörteile gleichzeitig enthalten. Zudem kann dasselbe Systeme zur Verwendung einer weiteren externe Komponente eingesetzt werden, die wahlweise als Blendschutzklappen oder ein Blendschutzschirm ausgeführt werden kann. Sämtliche internen und externen Zubehörteile können um 360° im Verhältnis zur Längsachse des Strahlers gedreht werden.

Installation

Einbau auf Stromschiene mit Netzspannung.

Farben

Weiß (01) | Schwarz (04)

Gewicht (Kg)

0.51

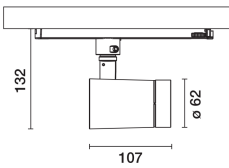
Montage

Dreiphasenstromschienensystem|Wandanbauleuchte|Pendelleuchte für ein dreiphasenstromschienensystem|Deckenanbauleuchte

Verkabelung

Im Produkt integrierte elektronische Komponenten.

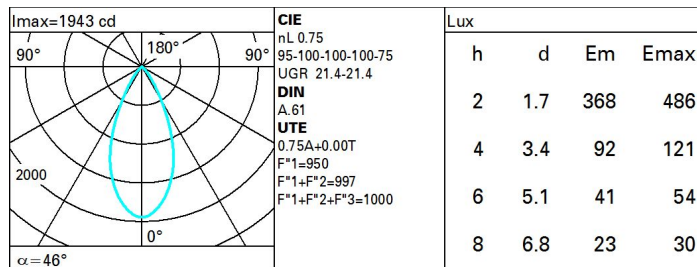
Gemäß der Normen EN60598-1 u. Sondernormen



Technische Daten

| | | | |
|---|------|---|--|
| Im System: | 1215 | MacAdam Step: | 2 |
| W System: | 19.3 | Lebensdauer LED 1: | > 50,000h - L90 - B10 (Ta 25°C) |
| Im Lichtquelle: | 1620 | Lampencode: | LED |
| W Lichtquelle: | 17 | Anzahl Lampen in | 1 |
| Lichtausbeute (lm/W, Systemwert): | 63 | Leuchtgehäuse: | ZVEI-Code: LED |
| Im im Notlichtbetrieb: | - | Anzahl Leuchtgehäuse: | 1 |
| abgegebenen Lichtstrom bei/ über einem Winkel von 90° [lm]: | 0 | Leistungsfaktor: | Sehen Montageanleitung |
| Leuchtenbetriebswirkungsgrad 75 (L.O.R.) [%]: | 46° | Einschaltstrom: | 5 A / 50 µs |
| Abstrahlwinkel [°]: | 90 | maximale Anzahl Leuchten pro Sicherungsautomat: | B10A: 31 Leuchten B16A: 50 Leuchten C10A: 52 Leuchten C16A: 85 Leuchten |
| CRi (minimum): | 3000 | Überspannungsschutz: | 4kV Gleichtaktspannung und 2kV Gegentaktspannung |
| Farbtemperatur [K]: | | Control: | DALI-2 |

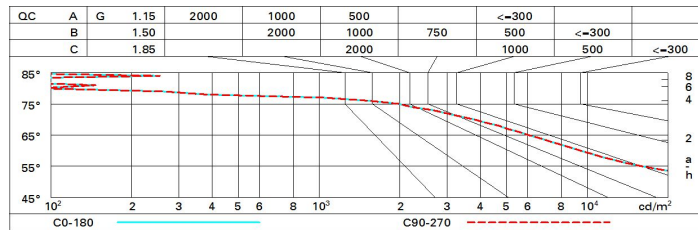
Polardiagramm



Wirkungsgrad

| R | 77 | 75 | 73 | 71 | 55 | 53 | 33 | 00 | DRR |
|------|----|----|----|----|----|----|----|----|-----|
| K0.8 | 66 | 62 | 59 | 57 | 61 | 59 | 59 | 56 | 75 |
| 1.0 | 69 | 66 | 63 | 61 | 65 | 63 | 62 | 60 | 80 |
| 1.5 | 73 | 71 | 69 | 67 | 70 | 68 | 67 | 65 | 86 |
| 2.0 | 76 | 74 | 72 | 71 | 73 | 71 | 71 | 68 | 91 |
| 2.5 | 77 | 76 | 75 | 74 | 75 | 74 | 73 | 71 | 94 |
| 3.0 | 78 | 77 | 76 | 75 | 76 | 75 | 74 | 72 | 96 |
| 4.0 | 79 | 78 | 78 | 77 | 77 | 77 | 76 | 74 | 98 |
| 5.0 | 80 | 79 | 79 | 78 | 78 | 77 | 76 | 74 | 99 |

Söllner-Diagramm



UGR-Diagramm

| Corrected UGR values (at 1620 lm bare lamp luminous flux) | | | | | | | | | | | |
|---|------|------------------|------|------|------|------|----------------|------|------|------|------|
| Reflect.: | | viewed crosswise | | | | | viewed endwise | | | | |
| ceiling/cav | | 0.70 | 0.70 | 0.50 | 0.50 | 0.30 | 0.70 | 0.70 | 0.50 | 0.50 | 0.30 |
| walls | | 0.50 | 0.30 | 0.50 | 0.30 | 0.30 | 0.50 | 0.30 | 0.50 | 0.30 | 0.30 |
| work pl. | | 0.20 | 0.20 | 0.20 | 0.20 | 0.20 | 0.20 | 0.20 | 0.20 | 0.20 | 0.20 |
| Room dim | | viewed crosswise | | | | | viewed endwise | | | | |
| x | y | | | | | | | | | | |
| 2H | 2H | 21.9 | 22.5 | 22.2 | 22.7 | 23.0 | 21.9 | 22.5 | 22.2 | 22.7 | 23.0 |
| | 3H | 21.8 | 22.3 | 22.1 | 22.6 | 22.9 | 21.8 | 22.3 | 22.1 | 22.6 | 22.9 |
| | 4H | 21.7 | 22.2 | 22.0 | 22.5 | 22.8 | 21.7 | 22.2 | 22.0 | 22.5 | 22.8 |
| | 6H | 21.6 | 22.1 | 22.0 | 22.4 | 22.7 | 21.6 | 22.1 | 22.0 | 22.4 | 22.7 |
| | 8H | 21.6 | 22.1 | 22.0 | 22.4 | 22.7 | 21.6 | 22.1 | 22.0 | 22.4 | 22.7 |
| | 12H | 21.6 | 22.0 | 21.9 | 22.3 | 22.7 | 21.6 | 22.0 | 21.9 | 22.3 | 22.7 |
| 4H | 2H | 21.7 | 22.2 | 22.0 | 22.5 | 22.8 | 21.7 | 22.2 | 22.0 | 22.5 | 22.8 |
| | 3H | 21.6 | 22.0 | 22.0 | 22.4 | 22.7 | 21.6 | 22.0 | 22.0 | 22.3 | 22.7 |
| | 4H | 21.5 | 21.9 | 21.9 | 22.2 | 22.6 | 21.5 | 21.9 | 21.9 | 22.2 | 22.6 |
| | 6H | 21.4 | 21.7 | 21.8 | 22.1 | 22.6 | 21.4 | 21.7 | 21.8 | 22.1 | 22.6 |
| | 8H | 21.4 | 21.7 | 21.8 | 22.1 | 22.5 | 21.4 | 21.7 | 21.8 | 22.1 | 22.5 |
| | 12H | 21.3 | 21.6 | 21.8 | 22.0 | 22.5 | 21.3 | 21.6 | 21.8 | 22.0 | 22.5 |
| 8H | 4H | 21.4 | 21.7 | 21.8 | 22.1 | 22.5 | 21.4 | 21.7 | 21.8 | 22.1 | 22.5 |
| | 6H | 21.3 | 21.5 | 21.7 | 22.0 | 22.4 | 21.3 | 21.5 | 21.7 | 22.0 | 22.4 |
| | 8H | 21.2 | 21.4 | 21.7 | 21.9 | 22.4 | 21.2 | 21.4 | 21.7 | 21.9 | 22.4 |
| | 12H | 21.2 | 21.3 | 21.7 | 21.8 | 22.4 | 21.2 | 21.3 | 21.7 | 21.8 | 22.4 |
| 12H | 4H | 21.3 | 21.6 | 21.8 | 22.0 | 22.5 | 21.3 | 21.6 | 21.8 | 22.0 | 22.5 |
| | 6H | 21.2 | 21.4 | 21.7 | 21.9 | 22.4 | 21.2 | 21.4 | 21.7 | 21.9 | 22.4 |
| | 8H | 21.2 | 21.3 | 21.7 | 21.8 | 22.4 | 21.2 | 21.3 | 21.7 | 21.8 | 22.4 |
| Variations with the observer position at spacing: | | | | | | | | | | | |
| S = | 1.0H | 4.3 / -9.9 | | | | | 4.3 / -9.9 | | | | |
| | 1.5H | 7.0 / -13.3 | | | | | 7.0 / -13.3 | | | | |
| | 2.0H | 9.0 / -15.4 | | | | | 9.0 / -15.4 | | | | |